



مجموعه مقالات دومین کنفرانس بین‌المللی تهویه مطبوع و تاسیسات حرارتی و برودتی

بیرجند، دانشگاه بیرجند، 6 و 7 مهر 1395

مهندسی مکانیک مدرس

mme.modares.ac.ir



ارائه یک استراتژی نوین به منظور تعیین ظرفیت محرک اولیه یک سیستم تولید توان به کمک بهینه‌سازی چند هدفه

علی سوهانی^{1*}، سحر رضاپور²، حسین صیادی³، یعقوب خسروانی فرد⁴

1- دانش‌آموخته کارشناسی ارشد، مهندسی مکانیک، دانشگاه صنعتی خواجه نصیرالدین طوسی، تهران

2- دانشجوی کارشناسی، مهندسی مکانیک، دانشگاه صنعتی خواجه نصیرالدین طوسی، تهران

3- دانشیار، مهندسی مکانیک، دانشگاه صنعتی خواجه نصیرالدین طوسی، تهران

4- دانشجوی کارشناسی ارشد، مهندسی مکانیک، دانشگاه صنعتی خواجه نصیرالدین طوسی، تهران

* تهران، صندوق پستی 19395-1999، asohani@mail.kntu.ac.ir

چکیده

استفاده از سیستم‌های تولید همزمان توان و حرارت و برودت یکی از موثرترین راه کارها در بالا بردن راندمان سیستم‌هایی می‌باشد که برای کارکرد از سوخت‌های فسیلی استفاده می‌کنند. یکی از گام‌های مهم و اولیه در استفاده از سیستم‌های تولید همزمان، تعیین ظرفیت محرک اولیه و ابعاد اجزای تشکیل‌دهنده آن است که به طور معمول این کار بر مبنای حداکثر توان مورد نیاز مجموعه صورت می‌گیرد. با در نظر گرفتن مجموع هزینه‌های چرخه عمر، مجموع دی‌اکسیدکربن تولیدی سالانه و میانگین سالانه بازدهی و استفاده از بهینه‌سازی چندهدفه، استراتژی نوینی به منظور تعیین ظرفیت محرک و ابعاد یک سیستم تولید همزمان در شهر رشت شامل 72 ساختمان 7 طبقه مشابه معرفی شده است. یافتن نقاط بهینه و انتخاب نقطه نهایی از آن‌ها به ترتیب به کمک روش‌های NSGA-II و TOPSIS صورت گرفته است. طبق نتایج به دست آمده حالت بهینه حالتی است که تعیین ظرفیت محرک بر مبنای 86.6% بیشینه بار الکتریکی مورد نیاز سیستم انجام شود که در این حالت، مقدار توابع هدف مجموع دی‌اکسیدکربن تولیدی سالانه و میانگین سالانه بازدهی نسبت به حالت معمول تعیین ظرفیت محرک به ترتیب 14.3 و 0.37% بهبود می‌یابند؛ در حالی که مقدار مجموع هزینه‌های چرخه عمر با 15.4% افزایش روبرو می‌گردد.

کلید واژگان: سیستم‌های تولید همزمان توان و حرارت و برودت، استراتژی نوین تعیین ظرفیت محرک، بهینه‌سازی چندهدفه، مجموع هزینه‌های چرخه عمر

Introducing a novel strategy for sizing the prime mover of a CCHP system by multi-objective optimization

Ali Sohani*, Sahar Rezapour, Hoseyn Sayyaadi, Yaghoob Khosravanifard

Department of Mechanical Engineering, Khajeh Nasir. Toosi University of Technology, Tehran, Iran

* P.O.B. 19395-1999, Tehran, Iran, asohani@mail.kntu.ac.ir

ABSTRACT

Using the combined cooling, heating and power generation (CCHP) systems is one of the most efficient ways to improve the performance of the systems which operate by combustion of fossil fuels. One of the first and important steps in implementation of CCHP system is the sizing of its prime mover. It is usually done based on the maximum power demand. Considering life cycle costs (LCC), annual carbon dioxide emission (ACDE) and annual average of efficiency (AAE) as the objective functions, a novel strategy for sizing the prime mover of a CCHP system was introduced for a residential complex including 72 same buildings each consisting of 7 same units. Pareto optimal frontier (POF) and final optimum solution were found by Non-dominated sorting genetic algorithm II (NSGA-II) method and TOPSIS. The results showed that the best strategy for sizing the prime mover was based on 86.6% of maximum required electrical power, which in this case, the ACDE and AAE improved up to 14.3 and 0.37%, respectively, while LCC increased 15.4%.

Keywords: Combined cooling, heating and power generation (CCHP) systems, Novel strategy for sizing the prime mover, Multi-objective optimization, Total life cycle costs

در طول سالیان اخیر، نظر به اهمیت سیستم‌های تولید همزمان و افزایش جایگاه آن‌ها به ویژه در بخش‌های مسکونی، مطالعات گسترده‌ای بر روی آن‌ها انجام شده است. بخش غالب این پژوهش‌ها به بهینه‌سازی یک سیستم تولید همزمان که محرک و در نتیجه ابعاد آن بر مبنای بار الکتریکی بیشینه تعیین شده بوده است براساس توابع هدف مختلف اختصاص یافته است. به عنوان نمونه، چو و همکاران، یک سیستم تولید همزمان را در شرایط آب و هوایی مختلف، براساس هزینه، میزان تولید دی‌اکسید کربن² و مصرف

1- مقدمه

از یک سو، منابع سوخت‌های فسیلی، رو به زوال‌اند و از سوی دیگر، میزان نیاز به انرژی با آهنگ فزاینده‌ای رو به افزایش است؛ به همین دلیل، بهبود کارایی تمام سیستم‌های انرژی، به ویژه سیستم‌هایی که از این منابع استفاده می‌کنند، از اهمیت بالایی برخوردار است که بهره‌گیری از سیستم‌های تولید همزمان حرارت، برودت و توان (CCHP)¹ به عنوان یکی از موثرترین این راه کارها مطرح می‌باشد.

² Carbon Dioxide Emission

Please cite this article using:

A.Sohani, S.Rezapour, H.Sayyaadi, Y.Khosravanifard, Introducing a novel strategy for sizing the prime mover of a CCHP system by multi-objective Optimization, *Modares Mechanical Engineering, Proceedings of the Second International Conference on Air-Conditioning, Heating and Cooling Installations*, Vol. 16, No. 13, pp. 131-134, 2016 (in Persian)

¹ Combined Cooling, Heating and Power

برای ارجاع به این مقاله از عبارت ذیل استفاده نمایید:

بررسی به ترتیب 45.9 کیلووات و 1200 کلوین استخراج می‌گردند. همچنین ترکیب گازهای داغ حاصل از احتراق گاز شهری ایران مطابق با آن چه در پژوهش کرمی و صیادی [3] گزارش شده است، در نظر گرفته می‌شود. همچنین با توجه به این که بار الکتریکی مصرفی ساختمان متغیر می‌باشد، فرض می‌شود که همواره موتور در یک دور ثابت کار کرده و توان مازاد تولیدی به شبکه فروخته می‌شود که این موضوع در محاسبات این پژوهش از جمله محاسبه بازده لحاظ گردیده است.

برای مبدل‌های حرارتی نیز که در آن‌ها تغییر فاز رخ نمی‌دهد، رابطه (1) برقرار است.

$$Q = \dot{m} c_p \Delta T \quad (1)$$

2-3- مدل‌سازی اقتصادی

مدل‌سازی اقتصادی با استفاده از روش چرخه عمر انجام شده است. در روش چرخه عمر، همه هزینه‌ها و درآمدهای سیستم در طول چرخه عمر آن، به زمان حال آورده می‌شوند. ارزش کنونی هزینه یا درآمد A که در سال zام پرداخت یا دریافت شده است برابر است با:

$$PW = \frac{A(1 + \text{inflation})^{j-1}}{(1 + \text{discount})^j} \quad (2)$$

قیمت اولیه تجهیزات با استفاده از رابطه (3) (فرمول 0.6) به دست آمده است. مشخصات حالت‌های پایه در نظر گرفته شده برای هر تجهیز در جدول 1 آمده است. همچنین مقدار 10 درصد مجموع هزینه‌های اولیه به عنوان هزینه‌های دیگر از جمله لوله‌کشی‌ها و غیره در نظر گرفته شده است [4].

$$C_I = C_{I,base} \left(\frac{\text{size}_{\text{param}}}{\text{size}_{\text{param}_{base}}} \right)^{0.6} \quad (3)$$

هزینه‌های جاری نیز شامل هزینه‌های گاز و هزینه‌های احتمالی برق خریداری شده و همچنین هزینه‌های تعمیر و نگهداری که برابر 5 درصد هزینه‌های اولیه است، می‌باشد. مقادیر مورد نیاز به منظور محاسبه هزینه‌های جاری در جدول 2 آورده شده است. به منظور محاسبه هزینه‌ها برحسب دلار، نرخ هر دلار برابر 3500 تومان فرض گردیده است. مقدار سود و تورم نیز به ترتیب 17.2 و 14.0% فرض شده اند.

جدول 1 مشخصات حالت‌های پایه در نظر گرفته شده برای هر تجهیز [5]

Table 1 The specifications and cost of each component in the base condition [5]

تجهیز	ظرفیت	قیمت (دلار)
مبدل حرارتی	توان حرارتی 40000 kcal. hr ⁻¹	160
موتور	موتور ملی گازسوز	1200
منبع آب گرم	400 لیتر	310
دیگ	267 کیلو وات	1300
ژنراتور برق	3000 دور بر دقیقه	2130
پمپ در گردش	هد 15 ft و دبی 1.1 GPM	200
پمپ بهداشتی	هد 34 m و دبی 20 m ³ . hr ⁻¹	320
تبرید جذبی	64000 بی تی یو بر ساعت	7200

جدول 2 نرخ‌های گاز و برق سالانه برحسب دلار [5]

Table 2 The natural gas and electricity tariffs in dollars [5]

شرح	قیمت (دلار)
خرید برق از شبکه	0.01
گاز طبیعی (ماه‌های سرد سال)	0.03
گاز طبیعی (ماه‌های گرم سال)	0.04

اولیه انرژی¹، بهینه کردند. نتایج حاصل نشان داد که کمترین میزان افزایش در مصرف انرژی برای شهرهای کلمبوس، میناپولیس، بوستون و میامی در حالت بهینه‌سازی براساس کربن دی‌اکسید بوده است. البته برای شهر سانفرانسیسکو نتیجه بر عکس بود و بیشترین میزان افزایش مصرف انرژی به حالت بهینه‌سازی براساس هزینه اختصاص داشت [1].

چنان که اشاره گردید، تعیین ابعاد و مشخصات سیستم‌های تولید همزمان در کاربردهای مسکونی با توجه به شرایط، برمی‌نماید بار الکتریکی بیشینه صورت می‌گیرد، حال آن که به دلیل تنوع شرایط اقلیمی، شرایط اقتصادی، وجود یا عدم وجود منابع کمکی و نیازهای دیگر مسئله، شرایط بهینه در حالتی به غیر از این حالت اشاره شده قابل دست‌یابی می‌باشد. در این پژوهش، یافتن مقدار بهینه براساس روش‌های بهینه‌سازی چندهدفه برای تعیین ابعاد و مشخصات سیستم برای مجموعه 72 ساختمان 7 واحدی در شهر رشت انجام گرفته است. سیستم تولید همزمان موردنظر شامل موتور ملی ایرانی گازسوز EF7 به عنوان محرک اولیه و یک چیلر جذبی به عنوان سیستم سرمایش می‌باشد. برای گرمایش نیز از آب گرم استفاده شده است.

2- توصیف سیستم

طرحواره انتخاب شده برای این سیستم در "شکل 1" نشان داده شده است. ابتدا گاز طبیعی وارد موتور می‌شود و توان مکانیکی در فرکانس 50 هرتز (3000 دور بر دقیقه) تولید می‌شود و سپس توسط ژنراتور سنکرون² به توان الکتریکی تبدیل می‌شود. سپس گازهای داغ حاصل از احتراق موتور ابتدا به سمت مبدل بازتاب اول رفته و گرمای مورد نیاز برای راهبری سیستم تبرید جذبی با مشخصات معلوم را تامین می‌کنند، سپس به سمت مبدل بازتاب دوم رفته و گرمای مورد نیاز برای تامین نیازهای حرارتی سیستم گرمایش و آب گرم را تامین می‌کنند. سپس دود خروجی به اتمسفر تخلیه می‌شود. در صورت کافی نبودن گرمای تبادل شده در هر یک از مبدل‌های بازتاب از یک مشعل کمکی برای آن استفاده می‌شود.

3- مدل‌سازی

3-1- مدل‌سازی ترمودینامیکی

برای مدل‌سازی ترمودینامیکی موتور ملی از اطلاعات ارائه شده توسط برجانه و صیادی [2] استفاده گردیده است که مطابق با آن توان خروجی و دمای گازهای داغ حاصل از احتراق خروجی از موتور ملی گازسوز در دور مورد

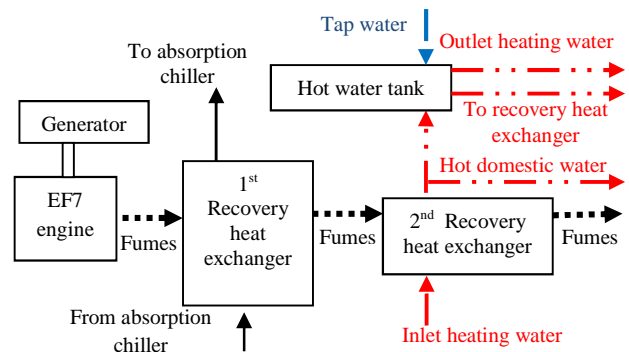


Fig. 1 The schematic of system

شکل 1 طرحواره سیستم

¹ Primary Energy Consumption

² Synchronous generator

4- مطالعه موردی

مجموعه 72 ساختمان 7 واحدی مسکونی مشابه واقع در شهر رشت با مساحت هر طبقه 97.1 m^2 به منظور مطالعه انتخاب شده است. شرایط طرح خارج شهر رشت و مشخصات این ساختمان به ترتیب در جدول‌های 3 و 4 آورده شده است.

در جدول 5 مقدار بیشینه بارهای حرارتی و برودتی که به کمک نرم‌افزار کریر هپ 4.50¹ محاسبه شده، گزارش گردیده است. همچنین با توجه به میزان مصرف آب گرم بهداشتی هر طبقه که در جدول 6 آورده شده است و فرض دمای آب سرد ورودی برابر با دمای زمین و دمای آب گرم بهداشتی مصرفی برابر 60°C ، مقدار بار آب گرم مورد نیاز طبقات نیز از رابطه (4) قابل محاسبه است.

$$Q = \dot{m}_{\text{HDW}} c_{p,\text{HDW}} \Delta T \quad (4)$$

مقدار بار الکتریکی مورد نیاز ماهانه هر واحد نیز مطابق با میانگین قبض‌های برق موجود، به صورت ارائه شده در "شکل 2" می‌باشد.

جدول 3 شرایط طرح خارج شهر رشت [6]

پارامتر	مقدار
ارتفاع از سطح دریا (m)	-4
دمای حباب‌خشک ($^\circ\text{C}$)	31.9
رطوبت نسبی هوا (%)	61.3
طول جغرافیایی ($^\circ\text{E}$)	49.7
عرض جغرافیایی ($^\circ\text{N}$)	37.3

جدول 4 مشخصات ساختمان نمونه مورد بررسی [6]

پارامتر	مقدار
ارتفاع سقف (متر)	3
ضریب انتقال حرارت دیوارهای خارجی (وات بر متر مربع بر کلون)	1.278
ضریب انتقال حرارت دیوارهای در مجاورت فضای تهویه نشده (وات بر متر مربع بر کلون)	1.204
ضریب انتقال حرارتی کلی پنجره (وات بر متر مربع بر کلون)	3.095
میانگین وزن بر واحد سطح جداره‌های هر طبقه (کیلوگرم بر متر مربع)	341.8
تعداد پنجره‌ها	7
مساحت هر پنجره (متر مربع)	1.68
حداکثر تعداد افراد حاضر در هر طبقه (نفر)	5

جدول 5 مقدار بیشینه بارهای حرارتی و برودتی به دست آمده توسط Carrier HAP 4.50

طبقه	بیشینه بار برودتی (W)	بیشینه بار حرارتی (W)
اول	4327.8	5470.2
میانی	3934.3	5315.0
آخر	5508.2	7740.8

¹ Carrier HAP 4.50

جدول 6 میزان مصرف آب گرم بهداشتی هر طبقه [3]

مصرف کننده‌های آب گرم بهداشتی	تعداد در هر طبقه	میزان استاندارد آب گرم مصرفی ($\text{L} \cdot \text{hr}^{-1}$)
حمام	1	114
دستشویی	1	7.6
توالت	1	7.6
آشپزخانه	1	38

توجه: ضریب همزمانی مصرف برابر 0.3 در نظر گرفته شده است.

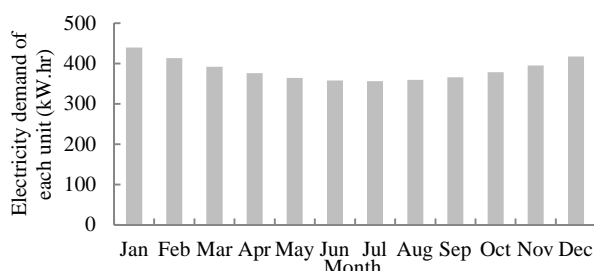


Fig. 2 The amount of required electricity of each unit starts in January

شکل 2 مقدار بار الکتریکی مورد نیاز ماهانه هر واحد با شروع از ماه ژانویه

5- نتایج

بهینه‌سازی با استفاده از کدهای توسعه یافته شده در نرم‌افزار MATLAB انجام شده است. از روش NSGA-II برای یافتن جبهه بهینه پارتو و روش TOPSIS برای انتخاب پاسخ بهینه نهایی از مجموعه نقاط جبهه پارتو بهره گرفته شده است (این دو روش در مرجع [7] معرفی شده‌اند).

مجموع هزینه‌های چرخه عمر، میانگین ماهانه بازده سیستم که مطابق رابطه (5) قابل محاسبه است و دی‌اکسیدکربن تولیدی سیستم در یک سال که آن را می‌توان مطابق با رابطه (6) به دست آورد به عنوان تابع هدف انتخاب شده‌اند. مقدار ضرایب D_1 و D_2 در معادله (6) برابر 0.598 و 0.185 کیلوگرم بر کیلووات ساعت در نظر گرفته شده‌اند [6].

$$\eta = \frac{E_{EF} + Q_{heating} + Q_{cooling} + Q_{HDW}}{\dot{m}_{\text{fuel}} LHV} \quad (5)$$

$$CDE = D_1 E_{\text{purchased}} + D_2 \dot{m}_{\text{fuel}} LHV \quad (6)$$

همچنین کسر توان تولیدی موتور به حداکثر توان مورد نیاز ساختمان به عنوان متغیر تصمیم در نظر گرفته شده است که برای آن بازه تغییرات بین 0 تا 10 در نظر گرفته شده است.

جبهه بهینه پارتو برای مسئله مورد بررسی یک نمودار سه بعدی می‌باشد که برای وضوح بیشتر و فهم بهتر تصویر آن در فضای دو بعدی توابع هدف مطابق با "شکل‌های 3 الی 5" آورده شده است. همچنین مقدار توابع هدف در حالت بهینه نهایی که بر روی شکل‌ها نیز مشخص می‌باشد (انتخاب شده توسط روش TOPSIS) و نتایج در حالت پایه (تعیین ظرفیت براساس صد در صد بار الکتریکی) در جدول 7 مقایسه شده‌اند. همان‌گونه که مشاهده می‌شود با استفاده از استراتژی نوین ارائه شده به منظور تعیین ظرفیت محرک اولیه مقدار توابع هدف میانگین بازدهی و دی‌اکسید کربن تولیدی سالانه به ترتیب به میزان 0.37 و 14.3 درصد افزایش یافته‌اند، در حالی که مقدار تابع هدف هزینه‌های چرخه عمر 15.4 درصد افزایش یافته است که در صورتی که در کشور ایران نیز مالیات‌های تولید دی‌اکسید کربن در بخش خانگی اعمال شود با در نظر گرفتن سود ناشی از کاهش آن، مقدار تابع هدف مجموع هزینه‌های چرخه عمر یا بهبود یافته یا با افزایش به مراتب کمتری مواجه

به‌دست آورده شد و مشاهده گردید که با تعیین ظرفیت محرک‌ها بر مبنای 86.6% حداکثر توان مورد نیاز، مقدار دی‌اکسید کربن و میانگین بازدهی سیستم 14.3 و 0.37 درصد افزایش می‌یابند، در حالی که مجموع هزینه‌های چرخه عمر با افزایش 15.4 درصد مواجه می‌شود که با وضع مالیات دی‌اکسید کربن در کشور ایران مانند سایر کشورهای جهان، مقدار افزایش این تابع کاهش یافته و استراتژی مورد نظر توجیه‌پذیری بالاتری خواهد داشت.

7- فهرست علائم

- A هزینه یا درآمد (\$)
- c_p ظرفیت گرمایی در فشار ثابت ($\text{kJ.kg}^{-1}.\text{K}^{-1}$)
- C هزینه (\$)
- CDE آلودگی دی‌اکسید کربن تولیدی (kg)
- discount سود بانکی
- D ثابت
- E توان الکتریکی (kW)
- inflation نرخ تورم
- LHV ارزش حرارتی پایین سوخت (kJ.kg^{-1})
- m دبی جرمی (kg.s^{-1})
- PW ارزش کنونی پول (\$)
- Q توان حرارتی (kW)
- sizparam پارامتر تعیین کننده قیمت سیستم
- T دما ($^{\circ}\text{C}$)
- علائم یونانی**
- η بازدهی سیستم
- زیر نویس‌ها**
- base حالت پایه
- cooling سرمایش
- heating گرمایش
- HDW آب گرم بهداشتی

8- مراجع

[1] Heejin Cho, Pedro J.Mago, Rogelio Luck, Louay M.Chamra, Evaluation of CCHP Systems Performance based on operational cost, primary energy consumption, and carbon dioxide emission by utilizing an optimal operation scheme, *Applied Energy*, Vol.86, pp. 2540-2549, 2009.

[2] A. Barjaneh and H. Sayyaadi, A new closed-form thermodynamic model for thermal simulation of spark ignition internal combustion engines, *Energy Conversion and Management*, Vol. 105, pp. 607-616, 2015.

[3] R. Karami, H. Sayyaadi, Optimal sizing of Stirling-CCHP systems for residential buildings at diverse climatic conditions, *Applied Thermal Engineering*, Vol. 89, pp. 377-393, 2015.

[4] S. A. Kalogirou, *Solar energy engineering: processes and systems*: Academic Press, 2013.

[5] N. Mohammadhoseini, *Analysis of a residential CCHP system with gas engine and desiccant enhanced indirect evaporative cooler*, B.Sc. Thesis, Department of mechanical engineering, K.N.Toosi university of technology, 2015. (in Persian فارسی)

[6] H. H. Balyani, A. Sohani, H. Sayyaadi, and R. Karami, Acquiring the best cooling strategy based on thermal comfort and 3E analyses for small scale residential buildings at diverse climatic conditions, *international journal of refrigeration*, Vol. 57, pp. 112-137, 2015.

[7] A. Sohani, H. Sayyaadi, S. Hoseinpoori, Modeling and multi-objective optimization of an M-cycle cross-flow indirect evaporative cooler using the GMDH type neural network, *International Journal of Refrigeration*, Vol. 69, pp. 186-204, 2016.

خواهد شد که بدین ترتیب توجیه‌پذیری استفاده از چنین استراتژی بالاتر نیز خواهد رفت و استفاده از این استراتژی به صرفه‌تر خواهد بود. مقدار بهینه به ازای همچنین کسر توان تولیدی موتور به حداکثر توان مورد نیاز ساختمان 0.866 به‌دست آمده است.

6- جمع بندی

بهترین استراتژی تعیین ظرفیت محرک اولیه یک سیستم تولید همزمان با استفاده از بهینه‌سازی چندهدفه برای مجموعه 72 ساختمان 7 طبقه مشابه

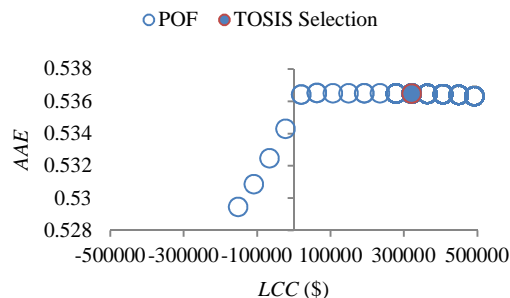


Fig. 3 The POF in the space of LCC and AAE

شکل 3 جبهه بهینه پارتو در فضای هزینه‌های چرخه عمر و میانگین بازدهی سالانه

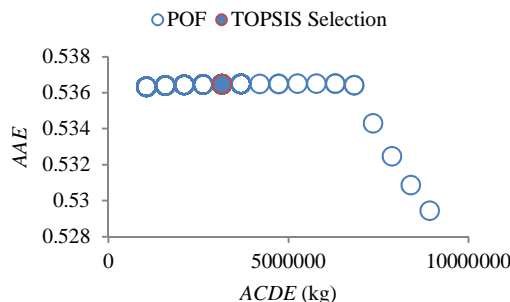


Fig. 4 The POF in the space of ACDE and AAE

شکل 4 جبهه بهینه پارتو در فضای آلودگی و میانگین بازدهی سالانه

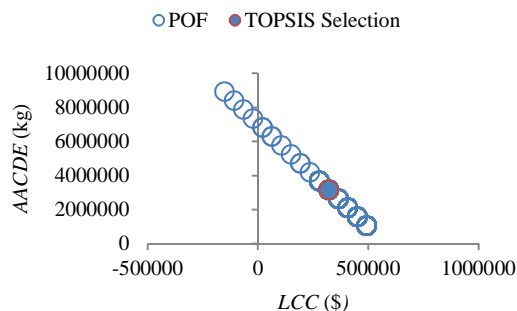


Fig. 5 The POF in the space of LCC and AACDE

شکل 5 جبهه بهینه پارتو در فضای هزینه‌های چرخه عمر و آلودگی سالانه

جدول 7 مقایسه حالت بهینه و حالت پایه با یکدیگر

Table 7 Comparison of final optimum solution with the base condition			
حالت	مجموعه هزینه‌های چرخه عمر (دلار)	دی‌اکسید کربن تولیدی (کیلوگرم در سال)	میانگین بازدهی سالانه
پایه	277910.6	3672533.1	0.5345
بهینه	320821.0	3147105.6	0.5365
بهبود (%)	-15.4	14.3	0.37